

**ДИНАМИЧЕСКАЯ РЕЛАКСАЦИОННАЯ СПЕКТРОСКОПИЯ —
ОПРЕДЕЛЕНИЕ ПАРАМЕТРОВ
ЛОКАЛИЗОВАННЫХ ЭЛЕКТРОННЫХ СОСТОЯНИЙ
В РЕЖИМЕ ПЕРИОДИЧЕСКОЙ ТЕРМОСТИМУЛЯЦИИ**

Веденеев А. С., Гольдман Е. И., Ждан А. Г., Савостьянов А. В.

Предложен новый метод спектроскопии локализованных электронных состояний у границы раздела полупроводник—диэлектрик, основанный на модуляции темпа опустошения ловушек в процессе релаксации их заполнения путем периодического изменения температуры образца. По измеренным зависимостям медленно спадающей со временем и осцилирующей синхронно с температурой компонент разрядного тока можно одновременно определять спектральную плотность локализованных состояний и сечение захвата на них свободных носителей заряда.

На примере границы раздела полупроводник—диэлектрик развивается новый метод спектроскопии локализованных электронных состояний, отличающийся от традиционно широко используемых методов релаксационной спектроскопии — нестационарной спектроскопии глубоких уровней (DLTS) и термостимулированного разряда конденсатора (ТРК) [1–6] возможностью строгого определения в рамках единого эксперимента двух основных характеристик пограничных состояний (ПС): спектральной плотности ПС $N_{ss}(E)$ и энергетической и температурной зависимостей их сечения захвата $\sigma(E, T)$.

Рассмотрим МДП структуру в состоянии неравновесного обеднения, созданного изменением потенциала затвора V_g , первоначально отвечающего режиму обогащения, т. е. предельному заполнению всех ПС. Будем считать, что в процессе релаксации заполнения ПС ВЧ емкость МДП структуры поддерживается постоянной за счет соответствующего изменения V_g . В общем случае зависимости $V_g(t, T)$ и плотности тока разряда ПС $j(t, T)$ имеют вид [4]

$$V_g(t, T) = \frac{q}{C_{ox}} \int dE N_{ss}(E) \left[1 - \exp \left(- \int_0^t \frac{dt_1}{\tau_0} e^{-E/T} \right) \right], \quad (1)$$

$$j(t, T) = q \int dE N_{ss}(E) \frac{\exp}{\tau_0} \left(- \frac{E}{T_0} - \int_0^t \frac{dt_1}{\tau_0} e^{-E/T} \right), \quad (2)$$

где q — элементарный заряд, C_{ox} — емкость единицы площади диэлектрического промежутка, t — время наблюдения, $\tau_0^{-1} = v_r N_c \sigma$, v_r — тепловая скорость носителей заряда, N_c — эффективная плотность состояний в разрешенной зоне.¹

Пусть в процессе релаксации температура у границы раздела полупроводник—диэлектрик колеблется около некоторого среднего значения T_0 по периодическому закону с периодом t_0 и амплитудой Δ :

$$T = T_0 + \Delta f(t).$$

¹ Считается, что в рассматриваемом диапазоне времен заполнение глубоких объемных уровней не изменяется.

Здесь $f(t)$ — периодическая функция, удовлетворяющая условиям $|f(t)| \leq 1$,
 $\int_{t_0}^t f(t) dt = 0$. Будем считать, что $t_0 \ll t$. Тогда релаксационные сигналы V_g и j
можно представить в виде суммы двух слагаемых — медленно изменяющегося со временем $V_g^{\text{--}}$ или $j^{\text{--}}$ и осциллирующего синхронно с температурой. Амплитуды осциллирующих слагаемых обозначим V_g^{\sim} и j^{\sim} . По измеренным зависимостям $V_g^{\text{--}}(t, T_0)$ и $V_g^{\sim}(t, T_0)$ или $j^{\text{--}}(t, T_0)$ и $j^{\sim}(t, T_0)$ можно определить одновременно $N_{ss}(E)$ и $\tau_0(t, T_0)$.

Поскольку $j = C_{\text{ox}} dV_g/dt$, то $j^{\text{--}} \sim C_{\text{ox}} V_g^{\text{--}}/t$, $j^{\sim} \sim C_{\text{ox}} V_g^{\sim}/t_0$. Следовательно, $(V_g^{\sim}/V_g^{\text{--}}) \sim (t_0/t)(j^{\sim}/j^{\text{--}}) \ll (j^{\sim}/j^{\text{--}})$. Физически это означает, что относительная амплитуда колебаний заполнения ПС в (t/t_0) раз меньше относительной амплитуды колебаний времени жизни носителей заряда на ПС. Таким образом, экспериментально выгоднее регистрировать $j^{\text{--}}$ и j^{\sim} , а не $V_g^{\text{--}}$ и V_g^{\sim} . Поэтому теорию метода будем развивать далее на примере определения функций $N_{ss}(E)$ и $\tau_0(E, T_0)$ по зависимостям $j^{\text{--}}(t, T_0)$ и $j^{\sim}(t, T_0)$. Определим $j^{\text{--}}$ и j^{\sim} следующим образом:

$$j^{\text{--}} = \frac{1}{t_0} \int_t^{t+t_0} j dt_1, \quad j^{\sim} = \frac{\int_t^{t+t_0} j f(t_1) dt_1}{\int_{t_0}^t f^2(t_1) dt_1}. \quad (3)$$

Тогда для непрерывного спектра ПС в обычных предположениях о плавности функций N_{ss} и τ_0

$$\begin{aligned} T_0 \left| \frac{\partial \ln N_{ss}}{\partial E} \right|_{E_m} &\ll 1, \quad \frac{T_0^2}{E_m} \left| \frac{\partial \ln N_{ss}}{\partial T} \right|_{T_0} \ll 1, \\ T_0 \left| \frac{\partial \ln \tau_0}{\partial E} \right|_{E_m} &\ll 1, \quad \frac{T_0^2}{E_m} \left| \frac{\partial \ln \tau_0}{\partial T} \right|_{T_0} \ll 1 \end{aligned} \quad (4)$$

в малосигнальном приближении $\Delta \ll T_0^2/E_m$ из (2) и (3) получаем

$$j^{\text{--}} = \frac{q T_0 N_{ss}(E_m)}{t}, \quad (5)$$

$$j^{\sim} = \frac{q N_{ss}(E_m) E_m \Delta}{t T_0}, \quad (6)$$

$$E_m = T_0 \ln \left[\frac{t}{\tau_0(E_m, T_0)} \right], \quad (7)$$

E_m — эффективный уровень энергии, который в данный момент времени t разделяет уже пустые ($E < E_m$) и еще заполненные ($E > E_m$) ПС. Выражение (5) — известная формула для тока немодулированной изотермической релаксации МДП структуры [4].

Искомые функции N_{ss} и τ_0 определяются из (5)–(7):

$$N_{ss} = \frac{t j^{\text{--}}}{q T_0}, \quad E = \frac{j^{\sim} T_0^2}{j^{\text{--}} \Delta}, \quad \ln \frac{t}{\tau_0} = \frac{j^{\sim} T_0}{j^{\text{--}} \Delta}. \quad (8)$$

Таким образом, динамическая релаксационная спектроскопия (ДРС) позволяет решить основную задачу спектроскопии — найти плотность ПС $N_{ss}(E)$ и предэкспоненциальный фактор $\tau_0(E, T_0)$ или $\sigma(E, T_0)$. Отметим, что если N_{ss} зависит и от T_0 ,² то и эту зависимость можно непосредственно определить из (8).

Уравнение, связывающее подобно формуле (6) произведение $N_{ss}(E_m) E_m$ с измеряемой величиной, можно получить и в случае изотермической релаксации без осцилляций температуры. Для этого следует измерять производную $dV_g^{\text{--}}/\partial T_0$:

$$\frac{\partial V_g^{\text{--}}}{\partial T_0} = \frac{q N_{ss}(E_m) E_m}{C_{\text{ox}} T_0}.$$

² Например, в силу эффектов экранирования или термоупругих эффектов.

Однако при этом требуется регистрировать малый сигнал $V_g^-(t, T_1) - V_g^-(t, T_0)$, где $T_1 - T_0 \ll T_0^2/E_m$, что технически гораздо труднее, чем выделить такую же по относительной амплитуде осциллирующую на заданной частоте $1/t_0$ составляющую тока.

Частота модуляции температуры объекта должна быть ограничена. Действительно, изменение температуры образца со временем приводит к появлению тепловых потоков. При этом распределение температуры становится неоднородным: она изменяется по образцу на тепловой длине $l_r = (\chi t_0/c\rho)$, где χ — теплопроводность, c — удельная теплоемкость, ρ — плотность полупроводника. Поскольку измерения должны проводиться в условиях однородной по приграничному слою обеднения толщины W температуры, то необходимо выполнить условия $W \ll l_r$ или $t_0 \gg (c\rho W^2/\chi) = 10^{-8}$ ($c\rho/\chi$) ($W/1$ мкм) 2 . Модуляция температуры с такими высокими частотами $1/t_0 \sim 10^4 - 10^6$ Гц может быть реализована от внешнего источника (например, лазерный нагрев поверхности структуры). Тепловая инерционность приводит к различию временных зависимостей температуры на границе полупроводника с диэлектриком и мощности нагрева.

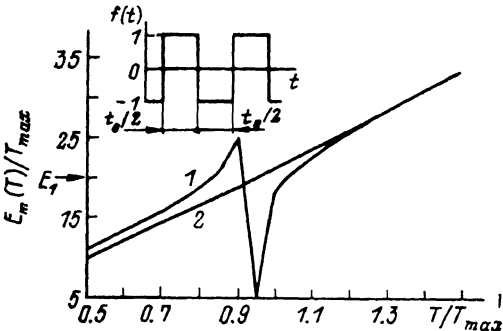


Рис. 1.

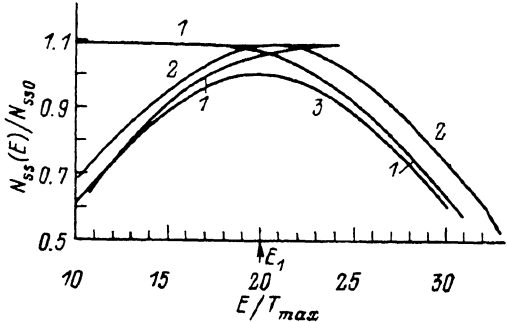


Рис. 2.

Функцию $f(t)$ и значение Δ в конкретном опыте можно определить, непосредственно измеряя температуру на границе раздела, например, с помощью предварительно отградуированных встроенных $p-n$ -переходов в цепях исток (сток) — подложка.

Покажем, что принятый в традиционных (без модуляции термоактивации) методах релаксационной спектроскопии DLTS и ТРК метод нахождения $N_{ss}(E)$ и $\tau_0(E, T)$ [8] может приводить к неправильным результатам. Рассмотрим это на примере зависимости $j^-(t, T)$. Суть метода [8] заключается в следующем. Для двух времен наблюдения t_1 и t_2 определяются температуры T_1 и T_2 , такие, что $j^-(t_1, T_1) t_1/T_1 = j^-(t_2, T_2) t_2/T_2$. Тогда из (5) следует $E_m(t_1, T_1) = E_m(t_2, T_2)$ и из (7)

$$E_m = \frac{T_1 T_2}{T_1 - T_2} \ln \frac{t_2}{t_1}. \quad (9)$$

Далее по (5) и (7) находят $N_{ss}(E)$ и $\tau_0(E, T)$ (t_1 и t_2 подбирают так, чтобы $T_1 - T_2 \ll T_1$).

Равенство $E_m(t_1, T_1) = E_m(t_2, T_2)$ есть следствие формулы (5), которая получена из (2) как первый член разложения в ряд по малым параметрам (4). Учет следующих членов разложения (первого порядка малости) приводит к поправкам к выражению (5):

$$j^- = \frac{q T_0 N_{ss}(E_m)}{t} \left\{ 1 + T_0 \left[C \left(\frac{\partial \ln N_{ss}}{\partial E} \right)_{E_m} - \left(\frac{\partial \ln \tau_0}{\partial E} \right)_{E_m} \right] \right\}. \quad (10)$$

Здесь $C = 0.5772\dots$ — число Эйлера. Из соотношения $j^-(t_1, T_1) t_1/T_1 = j^-(t_2, T_2) t_2/T_2$ с помощью формул (10) и (7) находим

$$E_m = \frac{T_1 T_2}{T_1 - T_2} \ln \frac{t_2}{t_1} - CT_1 + T_1 \frac{(\partial \ln \tau_0 / \partial E)_{E_m}}{(\partial \ln N_{ss} / \partial E)_{E_m}}. \quad (11)$$

Следовательно, несмотря на выполнение условий (4), выражения (9) и (11) могут существенно различаться. Особенно велика ошибка вблизи экстремумов функции $N_{ss}(E)$. Отметим, что на практике именно точки максимумов на зависимости j^*/T_0 от T_0 часто служат «опорными» при определении E_m и τ_0 по методу [3].

Отмеченные обстоятельства иллюстрируются результатами численного моделирования задачи восстановления функций $N_{ss}(E)$ и $\tau_0(E)$, заданных в соответствии с условием (4), по предложенному здесь методу ДРС и методу [3].

Зависимости $N_{ss}(E)$ и $\tau_0(E)$ выбирались в виде

$$N_{ss}(E) = N_{ss0} \exp\left[-\frac{2(E - E_1)^2}{E_1^2}\right],$$

$$\tau_0(E) = \tau_* \exp\left[-\frac{2(E - E_1)}{E_1}\right],$$

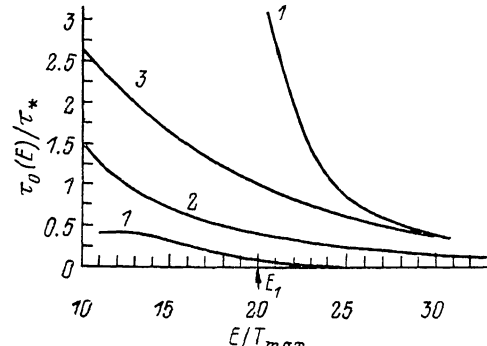


Рис. 3.

$N_{ss0} = \text{const}$, $\tau_* = \text{const}$. Принималось: $\ln(t_1/\tau_*) = 20$, $\ln t_1/\tau_* = 20$, $\ln t_2/\tau_* = 21$, $t_0/t = 10^{-2}$, $E_1/T_{\max} = 20$, $\Delta/T_{\max} = 5 \cdot 10^{-3}$. Здесь T_{\max} — температура максимума функции $j^*(T)$. На рис. 1—3 представлены соответственно графики зависимостей: эффективной энергии от температуры, спектральной плотности ПС

от энергии, предэкспоненциального фактора времени жизни на ПС от энергии. На вставке к рис. 1 показан график функции $f(t)$.

Расчет по методу [3] (рис. 1—3, кривые 1) приводит к характерным ошибкам: в окрестности максимума спектральной плотности ПС $E \simeq E_1$ имеет место скачкообразное изменение E_m с T , что обусловливает появление петли на графике $N_{ss}(E)$ и разрыва кривой $\tau_0(E)$ на две ветви. Между тем развитый метод ДРС (рис. 1—3, кривые 2) дает хорошо согласующиеся с точными данными (рис. 1—3, кривые 3) результаты.

Авторы признательны В. Б. Сандомирскому за обсуждение затронутых в работе вопросов; Е. И. Гольдман благодарен В. Г. Приходько за дискуссию о методе [3].

Л и т е р а т у р а

- [1] Lang D. V. — J. Appl. Phys., 1974, v. 45, N 7, p. 3023—3032.
- [2] Johnson N. M. — J. Vac. Sci. Techn., 1982, v. 21, N 2, p. 303—314.
- [3] Schulz M., Klausmann E. — Appl. Phys., 1979, v. 18, N 1, p. 169—175.
- [4] Simmons J. G., Wei L. S. — Sol. St. Electron., 1974, v. 17, N 2, p. 117—124.
- [5] Ждан А. Г., Сандомирский В. Б., Ожередов А. Д. — ФТП, 1968, т. 2, в. 1, с. 11—18.
- [6] Антоненко В. И., Ждан А. Г., Минченко А. И., Сульженко П. С. — ФТП, 1986, т. 20, в. 2, с. 208—213.

Институт радиотехники и электроники
АН СССР
Москва

Получена 18.06.1987
Принята к печати 4.01.1988